

## РОБАСТИФИЦИРОВАННОЕ ВЕКТОРНОЕ БЕЗДАТЧИКОВОЕ УПРАВЛЕНИЕ УГЛОВОЙ СКОРОСТЬЮ АСИНХРОННОГО ДВИГАТЕЛЯ НА ОСНОВЕ АДАПТИВНОГО НАБЛЮДАТЕЛЯ ПОНИЖЕННОГО ПОРЯДКА

**Введение.** Алгоритмы векторного управления угловой скоростью асинхронного двигателя (АД) без ее непосредственного измерения получили широкое распространение в технологических применениях со средним уровнем требований к статической и динамической точности регулирования механических координат. К таким механизмам в первую очередь относятся различные производственные машины, конвейеры, краны, лифты, турбомеханизмы. По сравнению с классическими алгоритмами векторного управления, использующими датчик угловой скорости, системы бездатчикового управления обладают более низкими показателями качества управления, однако отсутствие в них датчика скорости упрощает систему управления, повышает ее надежность и снижает стоимость. Вместе с тем следует отметить [1], [2], что широкому распространению систем бездатчикового управления АД препятствует ряд недостатков существующих решений, к основным из которых относятся: деградация точности регулирования в зоне нулевых скоростей, отсутствие устойчивости при работе с генераторным моментом нагрузки, значительная чувствительность к вариациям параметров АД.

Целью настоящей статьи является представление результатов синтеза и экспериментального тестирования нового алгоритма бездатчикового управления АД, обеспечивающего локальную экспоненциальную отработку заданных траекторий угловой скорости и потокосцепления ротора при действии постоянного неизвестного момента нагрузки, базирующегося на методе синтеза, представленном в [3], [4]. Отличительными особенностями представленного решения являются повышенные свойства грубости к параметрическим возмущениям за счет применения методов робастификации алгоритмов векторного управления, приведенных в [5] – [7].

**1. Математическая модель АД и постановка задачи управления.** Эквивалентная двухфазная модель симметричного АД при условии линейных магнитных цепей и симметричного питания, представленная в системе координат (d-q), вращающейся с произвольной угловой скоростью  $\omega_0$ , имеет вид

$$\begin{aligned} \dot{\omega} &= \mu (\psi_{2d} \dot{i}_{1q} - \psi_{2q} \dot{i}_{1d}) - J^{-1} M_c - \nu \omega \\ \dot{i}_{1d} &= -\gamma i_{1d} + \omega_0 i_{1q} + \alpha \beta \psi_{2d} + \beta \omega \psi_{2q} + \sigma^{-1} u_{1d} \\ \dot{i}_{1q} &= -\gamma i_{1q} - \omega_0 i_{1d} + \alpha \beta \psi_{2q} - \beta \omega \psi_{2d} + \sigma^{-1} u_{1q} \\ \dot{\psi}_{2d} &= -\alpha \psi_{2d} + \omega_2 \psi_{2q} + \alpha L_m \dot{i}_{1d} \\ \dot{\psi}_{2q} &= -\alpha \psi_{2q} - \omega_2 \psi_{2d} + \alpha L_m \dot{i}_{1q} \\ \dot{\epsilon}_0 &= \omega_0, \epsilon_0(0) = 0, \end{aligned} \tag{1}$$

где:  $\mathbf{u}_1 = (u_{1d}, u_{1q})^T$ ,  $\mathbf{i}_1 = (i_{1d}, i_{1q})^T$ ,  $\boldsymbol{\psi}_2 = (\psi_{2d}, \psi_{2q})^T$  – векторы напряжений и токов статора, а также потокосцеплений ротора,  $\omega$  – угловая скорость ротора,  $M_c$  – момент нагрузки,  $\omega_2 = \omega_0 - \omega$  – частота скольжения,  $\epsilon_0$  – угловое положение системы координат (d-q) относительно стационарной системы координат (a-b).

Постоянные параметры модели (1), связанные с электрическими и механическими параметрами АД, определены следующим образом:  $\alpha = R_2/L_2$ ,  $\gamma = \sigma^{-1} R_1 + \alpha L_m \beta$ ,  $\sigma = L_1 - L_m^2/L_2$ ,  $\beta = L_m/L_2 \sigma$ ,  $\mu = 3L_m/2JL_2$ , где:  $R_1$ ,  $R_2$ ,  $L_1$ ,  $L_2$  – активные сопротивления и индуктивности статора и ротора,  $L_m$  – индуктивность намагничивающего контура,  $J$  – полный момент инерции,  $\nu = \nu_1/J$ ;  $\nu_1 > 0$  – коэффициент вязкого трения. Без потери общности, в модели АД (1) принята одна пара полюсов.

Преобразованные переменные в (1) заданы

$$\begin{aligned} \mathbf{x}^{(d-q)} &= e^{-J\epsilon_0} \mathbf{x}^{(a-b)} \\ \mathbf{x}^{(a-b)} &= e^{J\epsilon_0} \mathbf{x}^{(d-q)} \end{aligned} \quad e^{-J\epsilon_0} = \begin{bmatrix} \cos \epsilon_0 & \sin \epsilon_0 \\ -\sin \epsilon_0 & \cos \epsilon_0 \end{bmatrix}, \tag{2}$$

где  $\mathbf{x}^{(y-z)}$  – определяет двумерные векторы напряжений, токов и потокосцеплений.

Рассмотрим обобщенную задачу векторного управления АД без измерения механических координат, которая состоит в регулировании угловой скорости и модуля вектора потокосцепления ротора

$$\mathbf{y}_1 = \mathbf{h}(\mathbf{x}) = \left( (\psi_{2d}^2 + \psi_{2q}^2)^{1/2}, \omega \right)^T \square (|\psi|, \omega)^T \tag{3}$$

с помощью двумерного вектора напряжений статора  $\mathbf{u}_1$  на основании информации о векторе измеряемых переменных  $\mathbf{y} = (i_{1d}, i_{1q})^T$ .

Определим вектор заданных траекторий изменения модуля вектора потокосцепления и угловой скорости ротора  $\mathbf{y}_1^* = (\psi^*, \omega^*)^T$ , тогда вектор ошибок отработки будет  $\tilde{\mathbf{y}}_1 = \mathbf{y}_1 - \mathbf{y}_1^* \square (\tilde{\psi}, \tilde{\omega})^T$ . В условиях, когда параметры АД известны и постоянны, момент нагрузки неизвестный но постоянный,  $\psi^* > 0, \omega^*$  – ограничены и имеют ограниченные производные  $\dot{\psi}^*, \dot{\psi}^*, \dot{\omega}^*, \dot{\omega}^*$ , требуется синтезировать нелинейный динамический регулятор, который гарантирует достижение следующих целей управления:

о1) локальную асимптотическую отработку угловой скорости–потока, то есть выполнение условий:

$$\lim_{t \rightarrow \infty} \tilde{\omega} = 0, \lim_{t \rightarrow \infty} \tilde{\psi} = 0 \quad (4)$$

о2) асимптотическую ориентацию по вектору потокосцепления ротора:

$$\lim_{t \rightarrow \infty} \tilde{\psi}_d = 0, \lim_{t \rightarrow \infty} \tilde{\psi}_q = 0; \tilde{\psi}_{2d} = \psi_{2d} - \psi^*, \tilde{\psi}_{2q} = \psi_{2q}; \quad (5)$$

о3) асимптотическое оценивание угловой скорости ротора:

$$\lim_{t \rightarrow \infty} \mathbf{e}_\omega = 0, \mathbf{e}_\omega = \omega - \hat{\omega}, \quad (6)$$

где  $\hat{\omega}$  – оцененное значение угловой скорости ротора.

**2. Алгоритм бездатчикового управления.** Базовый подход к разработке алгоритма векторного бездатчикового управления, который представлен в [3], [4], использует концепцию улучшенного косвенного векторного управления [8]. В работах [5], [6] в результате дальнейшего развития концепции [8] синтезирован робастифицированный алгоритм векторного управления с измерением угловой скорости, который включает в себя:

- регулятор потокосцепления

$$\mathbf{i}_{1d}^* = (\alpha\psi^* + \dot{\psi}^*) / \alpha L_m \quad (7)$$

$$\omega_0 = \omega + \alpha L_m \dot{\mathbf{i}}_{1q} / \psi^* + v_0 / \psi^*,$$

- наблюдатель полевой компоненты тока статора

$$\dot{\hat{\mathbf{i}}}_{1d} = -\hat{\gamma}_{1d} + \omega_0 \hat{\mathbf{i}}_{1q} + \alpha\beta\psi^* + \sigma^{-1} u_{1d} + k_{i1} \tilde{\mathbf{i}}_{1d} \quad (8)$$

- регулятор угловой скорости

$$\mathbf{i}_{1q}^* = (\dot{\omega}^* + v\omega^* - k_\omega \tilde{\omega} + \dot{M}_C) / \mu\psi^* \quad (9)$$

$$\dot{M}_C = -k_{\omega} \tilde{\omega}$$

- регуляторы тока по осям d и q

$$\begin{pmatrix} u_{1d} \\ u_{1q} \end{pmatrix} = \sigma \begin{pmatrix} \gamma_{1d}^* \mathbf{i}_{1d}^* - \omega_0 \hat{\mathbf{i}}_{1q} - \alpha\beta\psi^* + \dot{\mathbf{i}}_{1d}^* - k_{id1} \tilde{\mathbf{i}}_{1d} - x_d \\ \gamma_{1q}^* \mathbf{i}_{1q}^* + \omega_0 \hat{\mathbf{i}}_{1d} + \beta\omega\psi^* + \dot{\mathbf{i}}_{1q}^* - k_{iq1} \tilde{\mathbf{i}}_{1q} - x_q + v_q \end{pmatrix}, \quad (10)$$

$$\dot{x}_d = k_{ii} \tilde{\mathbf{i}}_{1d}$$

$$\dot{x}_q = k_{ii} \tilde{\mathbf{i}}_{1q}$$

В (7) – (10), обозначено:  $\mathbf{i}_{1d}^*, \mathbf{i}_{1q}^*$  – заданные значения для токов  $\mathbf{i}_{1d}, \mathbf{i}_{1q}$ ;  $\tilde{\mathbf{i}}_{1d} = \mathbf{i}_{1d} - \mathbf{i}_{1d}^*, \tilde{\mathbf{i}}_{1q} = \mathbf{i}_{1q} - \mathbf{i}_{1q}^*$  – ошибки отработки токов;  $\hat{\mathbf{i}}_{1d}$  – оценка тока  $\mathbf{i}_{1d}$ ,  $\tilde{\mathbf{i}}_{1d} = \mathbf{i}_{1d} - \hat{\mathbf{i}}_{1d}$  – ошибка оценивания тока  $\mathbf{i}_{1d}$ ;  $x_d, x_q$  – интегральные составляющие регуляторов тока;  $(k_{id1}, k_{iq1}) > 0$  – коэффициенты пропорциональных составляющих регуляторов токов;  $k_{ii}$  – коэффициенты интегральных составляющих регуляторов тока;  $k_1 > 0$ , – настроечный параметр. В случае, когда угловая скорость измеряется, корректирующие связи  $v_0, v_q$  выбираются равными [6]

$$v_0 = \gamma_1 \beta \omega \tilde{\mathbf{i}}_{1d} + \gamma_2 \beta \omega \tilde{\mathbf{i}}_{1q} \quad (11)$$

$$v_q = 0$$

где  $(\gamma_1, \gamma_2) > 0$  – настроечные параметры.

Идея синтеза наблюдателя угловой скорости ротора [4] базируется на ее влиянии на динамику моментного тока статора  $\mathbf{i}_{1q}$  посредством компоненты противо-ЭДС  $\beta\omega\psi_{2d}$ . Уравнения наблюдателя записываются в следующем виде:

$$\begin{aligned} \dot{\hat{\mathbf{i}}}_{1q} &= -\hat{\gamma}_{1q} - \omega_0 \hat{\mathbf{i}}_{1d} - \beta\hat{\omega}\psi^* + \sigma^{-1} u_{1q} + k_{oi} \tilde{\mathbf{i}}_{1q} \\ \dot{\tilde{\omega}} &= -\frac{k_{oi} \tilde{\mathbf{i}}_{1q}}{\beta\psi^*} \end{aligned} \quad (12)$$

$$\hat{\omega} = \omega^* + \tilde{\omega},$$

где  $\hat{i}_{1q}$  – оценка тока  $i_{1q}$ ,  $\tilde{i}_{1q} = i_{1q} - \hat{i}_{1q}$  – ошибка оценивания тока  $i_{1q}$ ;  $\tilde{\omega} = \hat{\omega} - \omega^*$  – ошибка отработки оцененной угловой скорости;  $(k_o, k_{oi}) > 0$  – настроечные коэффициенты наблюдателя.

Уравнения алгоритма векторного бездатчикового управления АД формируются на основании уравнений грубого векторного управления (7) – (10), выполняя в них замену реальной угловой скорости на значение, полученное от наблюдателя (12). Из анализа устойчивости по Ляпунову, корректирующие связи  $v_o, v_q$  для случая бездатчикового управления имеют вид

$$v_o = \frac{1}{\beta} \left[ (1 + \gamma_1^{-1}) \hat{\omega} \tilde{i}_{1d} - (\alpha + R_1 \sigma^{-1} + k_{iq}) \tilde{i}_{1q} \right] \quad (13)$$

$$v_q = -\alpha \tilde{i}_{1q} + \hat{\omega} \tilde{i}_{1d}$$

Результирующие уравнения динамики ошибок отработки и оценивания записываются в виде

$$\begin{aligned} \dot{\tilde{i}}_{1d} &= -(\gamma + k_{id1}) \tilde{i}_{1d} + \omega_0 \tilde{i}_{1q} + \alpha \beta \tilde{\psi}_{2d} + \beta \omega \tilde{\psi}_{2q} - x_d \\ \dot{\tilde{i}}_{1q} &= -(\gamma + k_{iq1}) \tilde{i}_{1q} - \omega_0 \tilde{i}_{1d} + \alpha \beta \tilde{\psi}_{2q} - \beta \omega \tilde{\psi}_{2d} - x_q - \beta (\tilde{\omega} - \tilde{\omega}) + v_q \\ \dot{x}_d &= k_{id} \tilde{i}_{1d} \\ \dot{x}_q &= k_{iq} \tilde{i}_{1q} \end{aligned} \quad (14)$$

$$\begin{aligned} \dot{\tilde{\psi}}_{2d} &= -\alpha \tilde{\psi}_{2d} + (\omega_0 - \omega) \tilde{\psi}_{2q} + \alpha L_m \tilde{i}_{1d} \\ \dot{\tilde{\psi}}_{2q} &= -\alpha \tilde{\psi}_{2q} - (\omega_0 - \omega) \tilde{\psi}_{2d} + \alpha L_m \tilde{i}_{1q} + \psi^* (\tilde{\omega} - \tilde{\omega}) - v_o \\ \dot{\tilde{i}}_{1d} &= -(\gamma + k_1) \tilde{i}_{1d} + \alpha \beta \tilde{\psi}_{2d} + \beta \omega \tilde{\psi}_{2q} \\ \dot{\tilde{\omega}} &= -v \tilde{\omega} - k_{\omega} \tilde{\omega} - \tilde{M}_c + \xi_{\omega} (t, \tilde{\psi}_{2d}, \tilde{\psi}_{2q}, \tilde{i}_{1d}, \tilde{i}_{1q}, \tilde{\omega}, \tilde{M}_c) \\ \dot{\tilde{M}}_c &= k_{\omega i} \tilde{\omega} \end{aligned} \quad (15)$$

$$\begin{aligned} \dot{\tilde{i}}_{1q} &= -(\gamma + k_o) \tilde{i}_{1q} - \beta \psi^* (\tilde{\omega} - \tilde{\omega}) + \xi_i (t, \tilde{\psi}_{2d}, \tilde{\psi}_{2q}, \tilde{\omega}) \\ \dot{\tilde{\omega}} &= -\frac{k_{oi} \tilde{i}_{1q}}{\beta \psi^*}, \end{aligned} \quad (16)$$

$$\xi_{\omega} = \mu \psi^* \tilde{i}_{1q} + \mu (\tilde{\psi}_{2d} \dot{i}_{1q} - \tilde{\psi}_{2q} \dot{i}_{1d}) \quad (17)$$

$$\xi_i = \alpha \beta \tilde{\psi}_{2q} - \beta \omega \tilde{\psi}_{2d} \quad (18)$$

Динамика ошибок отработки (14) – (16) описывается системой нелинейных дифференциальных уравнений одиннадцатого порядка и представляет собой объединение нелинейной электрической подсистемы (14) и линейной механической подсистемы (15), включенных в контуре обратной связи, посредством составляющей  $\xi_{\omega}$ . Компонента  $\xi_i$  является зависящим от ошибок отработки потокосцепления возмущающим воздействием для подсистемы оценивания угловой скорости (16).

Анализ устойчивости динамики ошибок отработки системы (14) – (16) основывается на структурных свойствах декомпозиции электрическая подсистема – механическая подсистема – подсистема оценивания угловой скорости. Такая декомпозиция формируется за счет действия полеориентированного контроллера скорости потока (медленная подсистема) и наблюдателя угловой скорости (быстрая подсистема), динамика которого может быть заданной более быстрой по сравнению с динамикой контуров регулирования за счет выбора коэффициентов  $k_o, k_{oi}$ . С использованием теории сингулярно-вырожденных систем [9], [10] и результатов [3], [4], для системы (14) – (16) доказывается локальная экспоненциальная устойчивость.

**3. Экспериментальное исследование динамики.** Синтезированный алгоритм бездатчикового векторного управления реализован на станции быстрого прототипного тестирования алгоритмов управления электроприводами [11]. Параметры использованного в экспериментальной установке АД следующие: номинальная мощность 0.75 кВт, номинальный момент 2.5 Нм,  $R_1 = 11$  Ом,  $R_2 = 5.51$  Ом,  $L_1 = L_2 = 0.95$  Г,  $L_m = 0.91$  Г,  $J = 0.0035$  кг·м<sup>2</sup>.

При тестировании использовались следующие настройки: коэффициенты пропорциональной и интегральной составляющих регулятора скорости  $k_{\omega} = 50$ ,  $k_{oi} = 1250$ ; коэффициенты пропорциональной и интегральной составляющих регуляторов тока:  $k_{id1} = k_{iq1} = 700$ ,  $k_{ii} = 122000$ . Корректирующий коэффициент подсистемы потока  $\gamma_1 = 0.1$ , коэффициент наблюдателя полевой компоненты тока статора  $k_1 = 700$ , коэффициенты наблюдателя угловой скорости  $k_o = 1000, k_{oi} = 100000$ .

Последовательность операций управления, представленная на рис. 1, включает:

- во время начального интервала времени  $0 \div 0.25$  с машина возбуждается, траектория заданного потока начинается с  $\psi^*(0) = 0.02$  Вб и достигает значения 0.92 Вб с первой производной, равной 3.52 Вб/с;

- начиная с  $t = 0.6$  с двигатель без нагрузки разгоняется по заданной траектории скорости, которая имеет нулевое начальное значение и достигает 50 рад/с, с первой и второй производными, равными 714 рад/с<sup>2</sup> и 23810 рад/с<sup>3</sup> соответственно;

- в момент времени  $t = 0.8$  с валу двигателя прикладывается постоянный момент нагрузки, равный номинальному значению.

Заданная траектория угловой скорости сформирована таким образом, чтобы динамический момент при разгоне двигателя соответствовал номинальному значению.

На Рис. 2 показаны графики переходных процессов при использовании разработанного алгоритма бездатчикового векторного управления угловой скоростью АД. Как видно из Рис. 2, динамическая ошибка при обработке заданной траектории угловой скорости составляет примерно 2 рад/с, а в моменты приложения/снятия момента нагрузки равна 11 рад/с и затухает к нулю за 0.1 с. Статическая ошибка регулирования угловой скорости при компенсации постоянного номинального момента нагрузки находится практически на нулевом уровне.

Для сравнения, на Рис. 3 показаны графики переходных процессов ошибки обработки угловой скорости и моментной компоненты тока статора, полученные экспериментально в системе векторного управления с датчиком скорости [8] при использовании тех же значений коэффициентов регулятора скорости, что и в бездатчиковом алгоритме управления. Из сравнения Рис.2 и Рис. 3 устанавливаем, что динамические и статические показатели качества регулирования угловой скорости, которые достигаются с использованием разработанного алгоритма бездатчикового управления, приближаются к тем, которые достигаются в системах с измерением угловой скорости.

На Рис. 4 показаны результаты экспериментального тестирования при работе в зоне низких скоростей. Как следует из сравнения графиков переходных процессов на Рис.2 и Рис. 4а, разработанный алгоритм бездатчикового управления обеспечивает сохранение динамических показателей качества вплоть до скорости 10 рад/с, что эквивалентно диапазону регулирования угловой скорости 1:30. При работе на скоростях менее 10 рад/с наблюдается незначительное ухудшение показателей качества регулирования. Как следует из Рис. 4в, диапазон регулирования угловой скорости составляет примерно 1:100 при обработке ступенчатого момента нагрузки.

На близкой к нулевой скорости (Рис. 4г) возникает статическая ошибка величиной примерно 1 рад/с, которая обусловлена влиянием неидеальностей инвертора при работе в зоне низких напряжений. Вместе с тем, такие показатели качества регулирования угловой скорости являются существенно более высокими, по сравнению с достигаемыми при разомкнутом частотном управлении, и удовлетворяют требованиям самого широкого спектра технологических применений.

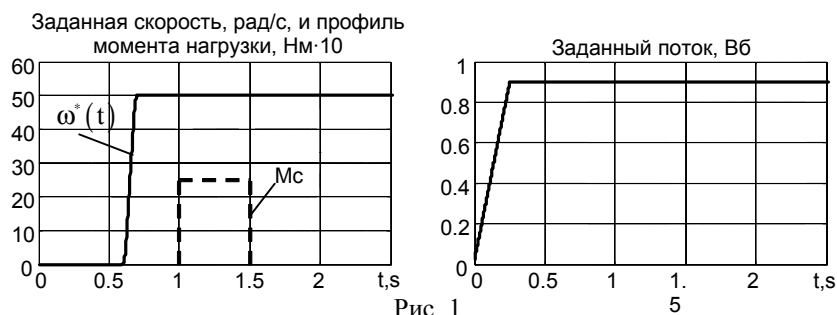


Рис. 1.

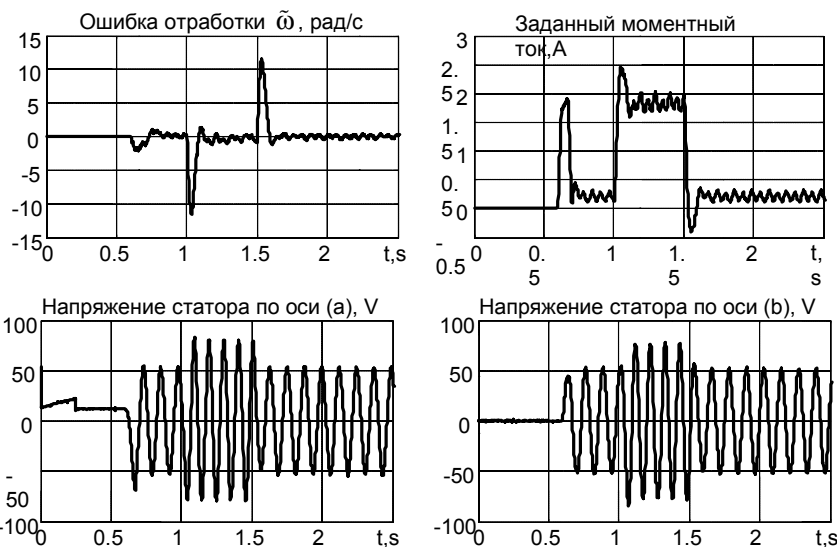


Рис. 2.

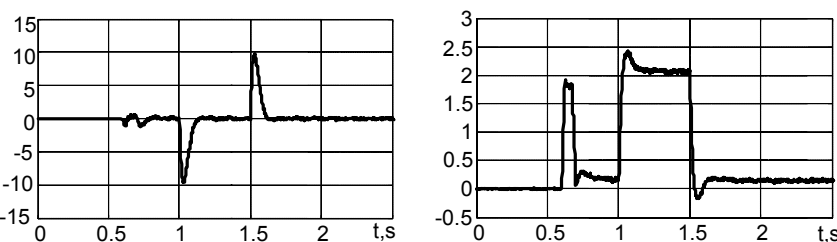


Рис. 3.

**Заклучение.** Представлены результаты синтеза нового алгоритма векторного бездатчикового управления угловой скоростью на основе адаптивного наблюдателя пониженного порядка. Разработанный алгоритм обеспечивает локальную асимптотическую обработку заданных траекторий угловой скорости и потокосцепления при одновременной асимптотической ориентации по вектору потокосцепления ротора. Результаты экспериментального тестирования свидетельствуют о том, что показатели качества регулирования угловой скорости, которые достигаются при использовании синтезированного алгоритма, приближаются к показателям, существующим в системах векторного управления с измерением угловой скорости. В частности, экспериментально показано, что использование разработанного алгоритма бездатчикового управления АД позволяет за счет повышения грубости к возмущениям статорной и роторной цепи обеспечить диапазон регулирования угловой скорости 1:100 и выше, а также устойчивую работу АД на скоростях, близких к нулевой.

#### ЛИТЕРАТУРА

- [1]. Peresada S., Tonielli A., Tilli A., Kovbasa S. and Montanari M. Simple sensorless vector control of induction motors with natural field orientation // in Proc. Annual Conf. of the IEEE Industrial Electronics Society – IECON'2001. –Denver, Colorado. –P. 641–646.
- [2]. Peresada S., Tonielli A., Montanari M., Tilli A., Kovbasa S. Sensorless Indirect Field-Oriented Control of Induction Motors, Based on High Gain Speed Estimation // IEEE, IECON 2002, paper SF-002530 on CD-ROM.
- [3]. Montanari M. Peresada S. and Tilli A. A speed sensorless indirect field-oriented control of induction motors based on high gain estimation // Automatica. – 2006. –Vol.42. –P. 1637 – 1650.
- [4]. M. Montanari, S. Peresada, C. Rossi and A. Tilli. Speed Sensorless Control of Induction Motors Based on Reduced-Order Adaptive Observer // IEEE Trans. On Control System Technology. –2007.–Vol.15. –No 6. –P. 1049–1064.
- [5]. Пересада С. М., Ковбаса С. М., Бовкунович В.С. Грубое векторное управление моментом и потоком асинхронного двигателя: теория и экспериментальное тестирование // Тематичний випуск «Проблеми автоматизованого електропривода. Теорія і практика» науково-технічного журналу «ЕЛЕКТРОІНФОРМ» - Львів: ЕКОінформ, 2009. –с. 69 – 73.
- [6]. Пересада С. М., Ковбаса С. Н., Бовкунович В.С. Грубое векторное управление моментом и потоком асинхронного двигателя // Технічна електродинаміка, 2010. –№1, –С. 60–66.
- [7]. Пересада С. М., Ковбаса С. Н., Бовкунович В.С. Сравнительное экспериментальное тестирование алгоритмов косвенного векторного управления моментом асинхронного двигателя // Технічна електродинаміка, – 2010, –№2, –С. 33–40.
- [8]. Peresada S. and Tonielli A. High-performance robust speed-flux tracking controller for induction motor // Int. Journal of Adaptive Control and Signal Processing. –2000. –Vol. 14. –P. 177–200.
- [9]. P. V. Kokotovic, H. K. Khalil, and J. O'Reilly, Singular Perturbation Methods in Control: Analysis and Design. London, U.K.: Academic Press, 1986.
- [10]. H. K. Khalil, Nonlinear Systems, 2nd ed. Englewood Cliffs, NJ: Prentice-Hall, 1996.
- [11]. Пересада С., Ковбаса С., Тониелли А. Станция быстрого моделирования алгоритмов управления электроприводом // Вестник Харьковского государственного политехнического университета. –1999. –С. 190–193.

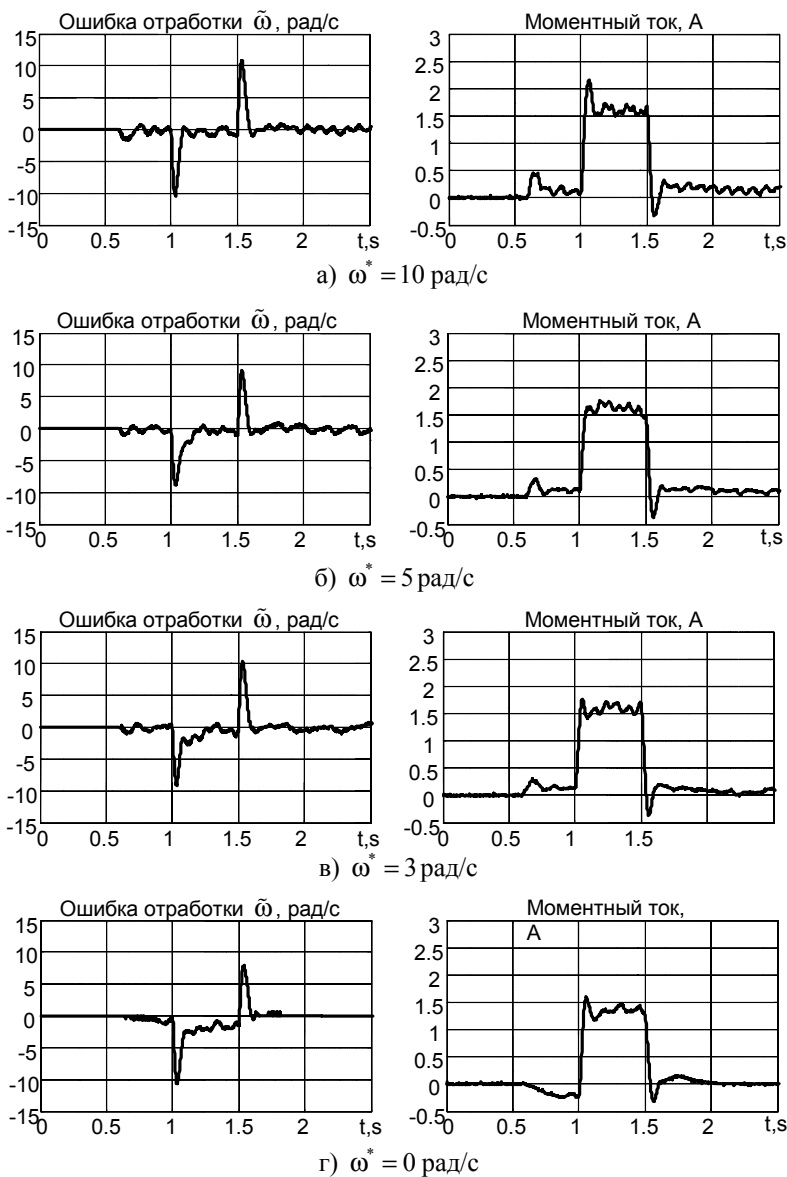


Рис. 4.